

长江原水臭氧化生成溴酸根的影响因素

卢宁,高乃云*,黄鑫

(同济大学污染控制与资源化研究国家重点实验室,上海 200092)

摘要:针对含溴离子(Br^-)的长江原水,通过臭氧化小试实验研究氨氮、 pH 、 O_3 投加量和水温对副产物溴酸根(BrO_3^-)的生成影响。结果表明,实验条件下($\text{pH } 7.35$ 、氨氮背景浓度 0.6 mg/L),投加氨氮对原水中 BrO_3^- 形成的抑制作用有限,初步分析氨氮无法屏蔽 BrO_3^- 的间接-直接生成途径。 O_3 投加量在 $0.8 \sim 2.5 \text{ mg/L}$ 的试验范围内,为保证 BrO_3^- 不超标,初始溶解 O_3 需要在 1.2 mg/L 以下。 BrO_3^- 的形成对 pH 变化很敏感, pH 调低到 6.3 , 30 min 生成量降低至 $8 \mu\text{g/L}$ 。降低温度, O_3 稳定性升高, BrO_3^- 浓度亦显著降低, 10°C 时 $100 \mu\text{g/L}$ Br^- 在初始 1.6 mg/L 溶解 O_3 浓度条件下, BrO_3^- 生成量为 $9.1 \mu\text{g/L}$ 。

关键词:溴酸根;臭氧化;长江原水;影响因素

中图分类号:X131.2 文献标识码:A 文章编号:0250-3301(2009)05-1386-05

Influence Factors of Bromate Formation in Yangtze River Water During Ozonation Process

LU Ning, GAO Nai-yun, HUANG Xin

(State Key Laboratory of Pollution Control and Resources Reuse, Tongji University, Shanghai 200092, China)

Abstract: A serial bench-scale experiments were conducted to study the effect of ammonia, pH, initial dissolved ozone and temperature on bromate formation during ozonation process in Yangtze river water, where bromide anion(Br^-) was detected. Ammonia has little suppression effects on bromate production in Yangtze water at $\text{pH } 7.35$ and 0.6 mg/L ammonia background concentration, for it can't block the indirect-direct path. Within our experiment's conditions, at the initial dissolved ozone from 0.8 mg/L to 2.5 mg/L , it should be kept below 1.2 mg/L in order to avoid bromate standard violation. BrO_3^- formation is sensitive to pH variation. BrO_3^- production is $8 \mu\text{g/L}$ when pH decreases to 6.3 . Lower temperature leads to both slower ozone decomposition and lower production of bromate. BrO_3^- production is $9.1 \mu\text{g/L}$ at 10°C , $100 \mu\text{g/L}$ initial Br^- and 1.6 mg/L initial dissolved ozone.

Key words: bromate; ozonation; Yangtze River water; impact factors

2010 年上海市将建成青草沙水库取水长江,其供水规模占全市 50% 以上,臭氧/生物活性炭工艺已被初定为主要工艺之一。而臭氧-生物活性炭技术最主要的副产物就是 BrO_3^- ^[1,2]。根据现有研究, BrO_3^- 致癌风险较大^[3],我国《生活饮用水卫生标准 GB 5749-2006》中限定 BrO_3^- 不得超过 $10 \mu\text{g/L}$ ^[4]。参照国外水厂的运行经验,当原水中含有一定浓度 Br^- 时,采用臭氧化工艺产生 BrO_3^- 几乎不可避免^[5,6]。由于青草沙水源地位于入海口,经常出现咸潮入侵,导致长江水体中 Br^- 含量升高^[7,8]。因此,研究长江原水在臭氧化工艺中 BrO_3^- 的生成潜力,是评估臭氧化工艺可行性的重要指标^[9]。

关于 BrO_3^- 在臭氧化工艺中的生成机制,相关文献较多且结论基本明确,但少有研究针对长江原水使用 O_3 后 BrO_3^- 的生成情况。本研究小试实验考察长江原水臭氧化过程中 BrO_3^- 的生成和 O_3 的消耗情况,对水质、 O_3 投加量、氨氮等影响因素作探讨,以期为臭氧化工艺处理长江原水的工程实践提

供参考。

1 材料与方法

1.1 试验材料

试验用 BrO_3^- 和 Br^- 标液由色谱纯的溴酸钾和溴化钾自配,试剂购自国药集团化学试剂公司(上海)。试验用纯水为 Milli-Q 超纯水,其他常规药剂均为分析纯。

1.2 分析方法

实验采用 DIONEX 公司的 ICS-1000 专业型离子色谱仪,双活塞串联恒流泵,恒温电导检测器, Ion Pac AS19 大容量阴离子分析柱($2 \times 250 \text{ mm}$), Ion Pac AG19 阴离子保护柱($2 \times 50 \text{ mm}$), ASRS ULTRA II 阴离子抑制器(4 mm), AS40 自动进样器(5 mL)。试验

收稿日期:2008-11-05;修订日期:2008-12-15

基金项目:国家自然科学基金项目(5087163);“十一五”国家科技支撑计划项目(2006BAJ08B06);国家科技重大专项(2008ZX07421-002)

作者简介:卢宁(1980~),男,博士研究生,主要研究方向为水处理理论与技术,E-mail: 05498124@163.com

* 通讯联系人,E-mail: gaonaiyun@sina.com

用分析条件:操作温度 30℃,抑制电流 50 mA,淋洗液 KOH 20 mmol/L(由 DIONEX 淋洗液自动发生器产生),流速 1 mL/min,进样量 300 μL. BrO_3^- 与 Br^- 出峰时间分别在 5.680 min 左右和 10.337 min 左右,峰形良好,表明在所采用的离子色谱条件下,能较好地将 BrO_3^- 和 Br^- 与其他杂质分离. 原水中 O_3 浓度采用靛蓝分光光度法测定^[10,11].

1.3 试验方法

小试实验是在三口烧瓶中进行 O_3 消耗和 BrO_3^- 生成的动力学测试. 1 L 三口烧瓶中置入 500 mL Milli-Q 纯水,加入磷酸盐缓冲溶液保持 pH 在 7.5 左右,恒温水浴保持温度在(25 ± 1)℃,通入 O_3 并以一定转速转子搅拌以加速混合,直至纯水中溶解性 O_3 (靛蓝法测定)含量达到所需浓度值. 停止通气,迅速倒入 500 mL 含溴原水(长江原水或配制的含 Br^- 蒸馏水),盖上三口烧瓶瓶塞. 实验计时开始,此后在固定时间点取 10 mL 水样,5 mL 用于 O_3 浓度测定,另外 5 mL 加入数滴硫代硫酸钠溶液(1.75 g/L $\text{Na}_2\text{S}_2\text{O}_3$)去除溶解 O_3 后,离子色谱分析其中的阴离子(BrO_3^- / Br^- / NO_3^-). 由于小试实验中纯水:原水 = 1:1,所以事先调整纯水中的 Br^- 、pH、氨氮等以保证混合后达到实验所需的数值. Br^- 用配制的溴化钠 NaBr 溶液调节,氨氮用 NH_4Cl 溶液调节, pH 用磷酸盐缓冲溶液控制.

实验所用原水经 0.45 μm 微滤膜过滤去掉悬浮物,长江原水水质见表 1.

表 1 长江原水水质(经 0.45 μm 微滤膜过滤)

Table 1 Raw water parameters from Yangtze River
(filtered by 0.45 μm MF membrane)

pH	高锰酸盐指数 /mg•L ⁻¹	TOC /mg•L ⁻¹	Br^- / $\mu\text{g}•\text{L}^{-1}$	BrO_3^- / $\mu\text{g}•\text{L}^{-1}$	氨氮 / $\text{mg}•\text{L}^{-1}$
7.35	1.7	2.7	103.5	<2.0	0.6

表 1 说明长江原水水质相对较好,高锰酸盐指数为 1.7 mg/L, TOC 为 2.7 mg/L. 由于地处入海口,受咸潮影响,长江原水中的 Br^- 含量比较高为 103.5 $\mu\text{g}/\text{L}$,此外,长江原水中未检出 BrO_3^- .

2 结果与讨论

2.1 氨氮的影响

地表水中氨氮的量(以 N 计)一般 < 1 mg/L. 氨氮可以和水中的氧化剂如氯反应生成氯胺,也能够和 O_3 反应直接氧化成 NO_3^- ,见式(1).

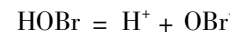


$$k = 20 \text{ L/(mol} \cdot \text{s)}$$

相对于 O_3 和 Br^- 的反应速率[160 L/(mol•s)],也有报道认为是 258 L/(mol•s),式(2)],这个速度是比较慢的.研究表明, BrO_3^- 主要不由该路径生成,而是以 Br^- 为催化剂,通过如下途径完成:



$$k = 160 \text{ L/(mol} \cdot \text{s)}$$



$$\text{p}K_a = 8.86$$



$$k = 8 \times 10^7 \text{ L/(mol} \cdot \text{s})$$



$$k = 40 \text{ L/(mol} \cdot \text{s})$$

这样 Br^- 通过式(1)~(4)催化 O_3 氧化 NH_3 完成了一个循环,可以看到其中的限制步骤是最后一步,式(4),但速率也比直接氧化高了 1 倍. 排除其它可能的少量 NH_3 和 N_2 挥发因素,此为水中 NH_3 在臭氧化过程中的主要变化路径. 由于 HOBr/OBr⁻ 是直接氧化和直接间接氧化路径中的一个环节,因此相当于水中的 NH_3 和 O_3 共同竞争 HOBr/OBr⁻. 另外 NH_3 可以作为·OH捕捉剂[10⁸ L/(mol•s)],对通过间接途径生成的 BrO_3^- 也有一定的抑制作用. 因此总的说来 NH_3 可以有效抑制水中 BrO_3^- 的生成.

实验中长江原水含有 0.6 mg/L(1:1 配制后实验用水是 0.3 mg/L)氨氮,投加 1 mg/L 以后达到 1.3 mg/L. 加入氨氮后 O_3 半衰期从 13.4 min 降到了 9.1 min,说明氨氮对于 O_3 有消耗作用. 同样蒸馏水加了 0.3 mg/L 氨氮以后半衰期降至 16.9 min.

由图 1 和表 2 可知,添加了 0.3 mg/L 氨氮可以极大地抑制蒸馏水中 Br^- 被 O_3 氧化成 BrO_3^- . 因为相对于 100 $\mu\text{g}/\text{L}$ Br^- ,氨氮 0.3 mg/L 是过量的. 比较长江水的 2 条曲线,1.3 mg/L 氨氮和 0.3 mg/L 氨氮相比 BrO_3^- 的生成量减少不大,抑制作用有限,特别是在前期更加不明显,后期的变化可能主要是因为 O_3 浓度的减少造成的. 实验说明少量的 NH_3 即可抑制原水中 BrO_3^- 的形成,之后继续投加抑制作用不明显(30 min 生成量仅从 15.2 $\mu\text{g}/\text{L}$ 降至 12.5 $\mu\text{g}/\text{L}$),由于一般原水中均有 mg/L 级的氨氮,若水厂采用预加 NH_3 作为防止 BrO_3^- 生成的手段,可能效果不明显. 另外·OH 是 O_3 自分解的催化剂, NH_3 消耗了一定的·OH[10⁸ L/(mol•s)],可以延长 O_3 的半衰期,不过可能由于氨氮本身也消耗 O_3 ,这种作用并没有在实验

中反映出来。

实验表明氨氮不能完全抑制住 BrO_3^- 在臭氧化过程中的形成。虽然 HOBr 与 NH_3 反应速率是 $k = 8 \times 10^7 \text{ L}/(\text{mol} \cdot \text{s})$ [式(3)]，远大于 OBr^- 被 O_3 氧化成 OBr_2^- 的速度 [$k = 100 \pm 20 \text{ L}/(\text{mol} \cdot \text{s})$]。但是 HOBr 和 OBr^- 与 $\cdot\text{OH}$ 反应速率分别是 $2 \times 10^9 \text{ L}/(\text{mol} \cdot \text{s})$ 和 $4.5 \times 10^9 \text{ L}/(\text{mol} \cdot \text{s})$ ^[12,13]，是 HOBr 与 NH_3 反应的 25 倍和 56.2 倍。另外 Br^- 通过 $\cdot\text{OH}$ 氧化成 $\cdot\text{Br}$ 的速率为 $1.06 \times 10^8 \text{ L}/(\text{mol} \cdot \text{s})$ 。所以要获得良好的屏蔽效果， NH_3 投加量必须足够大。本实验也揭示了在长江原水中 0.6 mg/L 的氨氮背景浓度下，投加氨氮抑制臭氧化过程中 BrO_3^- 形成的效果并不明显，应采取降低 O_3 投加量等其它办法来解决。

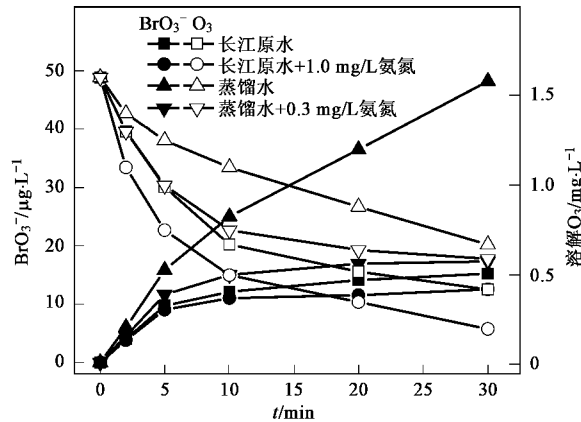


图 1 氨氮对臭氧化过程中 BrO_3^- 生成和 O_3 衰减的影响

Fig. 1 Effect of ammonia nitrogen on bromate formation and ozone decay during ozonation process

表 2 原水加氨后 O_3 衰减伪一级反应方程拟合结果对比

Table 2 Comparison of pseudo-first order equation parameters between waters before and after adding ammonia nitrogen

本底 + 氨氮	斜率	标准误差	R^2	$t_{1/2}/\text{min}$
原水	-0.052	0.00578	0.93	13.4
原水 + 1.0 mg/L 氨氮	-0.076	0.00743	0.95	9.1
蒸馏水	-0.030	0.00172	0.98	22.9
蒸馏水 + 0.3 mg/L 氨氮	-0.041	0.00615	0.88	16.9

2.2 pH 的影响

用 HCl 和 NaOH 溶液改变原水中的 pH 值，考察 pH 对 BrO_3^- 生成量和 O_3 消耗曲线的影响。由图 2 和表 3 可见， $\text{pH } 6.3 \sim 8.7$ 范围内， pH 升高， O_3 稳定性降低，半衰期由 26.7 min 单调递减至 8.7 min，变动幅度较大。对应的 BrO_3^- 浓度则随 pH 升高显著升高。

pH 是水溶液的一个宏观指标，该指标的变动会引起水溶液中各种物质和反应的变化，例如 NH_4^+ / NH_3 平衡、 CO_3^{2-} / HCO_3^- 平衡、 HOBr/OBr^- 平衡、 NOM 电荷状态、 O_3 的自分解反应等等。若仔细探讨每个反应随 pH 变动的趋势比较困难，这里仅参考文献选取重要因素和步骤。一般认为， pH 升高时 HOBr/OBr^- 比例降低， OBr^- 与 $\cdot\text{OH}$ 形成 $\cdot\text{OBr}$ 的速率 [$4.5 \times 10^9 \text{ L}/(\text{mol} \cdot \text{s})$] 约为 HOBr [$2 \times 10^9 \text{ L}/(\text{mol} \cdot \text{s})$] 的 2 倍。同时在碱性条件下 O_3 自分解加快， $\cdot\text{OH}$ 浓度升高。因此 BrO_3^- 生成速度增加。

HOBr/OBr^- 与 NH_3 反应速度远高于 Br^- 和 O_3 形成 HOBr/OBr^- 的速度，在实验原水 0.3 mg/L 氨氮条件下， O_3 直接氧化途径基本被屏蔽了。所以 O_3 加速分解对通过该途径产生的 BrO_3^- 影响不大。

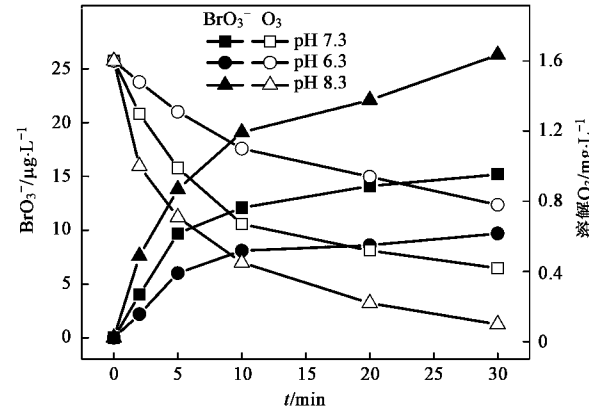


图 2 pH 对臭氧化过程中 BrO_3^- 生成和 O_3 衰减的影响

Fig. 2 Effect of pH on bromate formation and ozone decay during ozonation process

表 3 不同 pH 原水中 O_3 衰减伪一级反应方程拟合结果对比

Table 3 Comparison of pseudo-first order equation

parameters among waters under different pH

pH	斜率	标准误差	R^2	$t_{1/2}/\text{min}$
7.3	-0.052	0.00578	0.93	13.4
6.3	-0.026	0.00178	0.97	26.7
8.7	-0.098	0.00638	0.98	7.0

2.3 O_3 投加量的影响

溶解 O_3 和 Br^- 是产生 BrO_3^- 的前提条件。自来水厂中 Br^- 浓度调控范围有限（一般采用离子交换的方法但效果不佳）。 O_3 是可调控的因素，涉及到投加量和投加方式。本实验考察生成潜能，因此仅考虑投加量的影响。

从图 3 和表 4 中可以看出，随 O_3 投加量增加，半衰期略有减小。 O_3 浓度从 0.8 mg/L 增加至 2.5

mg/L时,半衰期由17.5 min减少至12.9 min.可能是因为O₃浓度增大,水中消耗反应加快.

实验表明BrO₃⁻的生成随O₃浓度的增大而明显增大(图3).因为O₃及其分解产物·OH是BrO₃⁻形成的必要条件,增大O₃浓度对相关的各反应都有促进作用.分析3条曲线,其中初始O₃1.6和0.8 mg/L 2条曲线在10 min后继续生成BrO₃⁻的量比较少,此时二者残余O₃浓度在0.67 mg/L以下.而2.5 mg/L曲线10 min后仍能够继续形成,其残余O₃量20 min后还有0.76 mg/L.0.8、1.6和2.5 mg/L 3条曲线前10 min BrO₃⁻的量占总生成的量分别是80%、80%和68%.说明溶解O₃的量也是重要因素.根据实验曲线,估计初始溶解臭氧投加量至少要保持在1.2 mg/L以下才能保证最终BrO₃⁻生成量不超标.

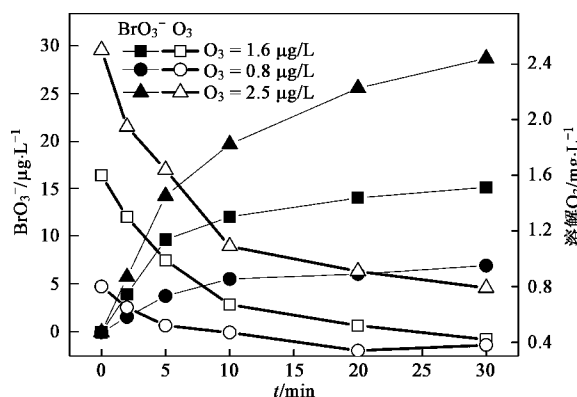


图3 O₃ 初始浓度对臭氧化过程中BrO₃⁻生成和O₃衰减的影响

Fig.3 Effect of initial ozone dosage on bromate formation and ozone decay during ozonation process

表4 不同初始O₃投加量条件下原水中O₃衰减伪一级反应方程拟合结果对比

Table 4 Comparison of pseudo-first order equation parameters among raw waters with different initial ozone dosages

O ₃ /mg·L ⁻¹	斜率	标准误差	R ²	t _{1/2} /min
1.6	-0.052	0.00578	0.93	13.4
0.8	-0.040	0.00396	0.94	17.5
2.5	-0.054	0.00515	0.93	12.9

文献中也有类似的阐述.Siddiqui等^[6]研究了Meuse河水臭氧化过程中BrO₃⁻的生成现象,发现当DOC 2.4 mg/L时,pH 6.8~7.8范围内,O₃需达到1 mg/L时才能形成BrO₃⁻.因此理论上说如果把总的一次性O₃投加量分成几个分段进行投加(单点变成多

点投加,总量不变)即可以有效减少BrO₃⁻的形成.李继等^[14]也有类似报道.值得注意的是,这种方法是否会对有机物的氧化效果产生负面影响,即CT值降低是否也降低了有机物的臭氧化反应效果,文献中较少涉及,还有待进一步研究.

2.4 水温的影响

水温变化对水溶液中大多数反应都有显著的影响.一般水温变化10℃,阿累尼乌斯速率常数变化3~4倍.上海地区一年四季气温变化也比较大.因此考察了2个温度点判断水温对BrO₃⁻在臭氧化过程中形成的影响.

由图4和表5可以看到,原水水温降低,溶解O₃的分解速率明显减少了,半衰期由25℃的13.4 min增加到10℃的26.6 min,增长了1倍.其它文献中O₃随温度变化的分解趋势也相同.随温度降低,BrO₃⁻的形成速度也明显减慢了.一方面,温度降低,水溶液BrO₃⁻相关的反应可能都相应的降低了速率.另一方面,根据文献O₃自分解速率减慢导致了·OH浓度降低,而·OH是中间氧化剂.虽然残余O₃量提高有利于直接氧化生成BrO₃⁻,但正如2.1节的讨论,在有氨氮和有机物等易和HOBr/OBr⁻反应的原水中,通过直接氧化途径的形成量较少.因此,在实验温度范围内,温度升高BrO₃⁻的生成速率也升

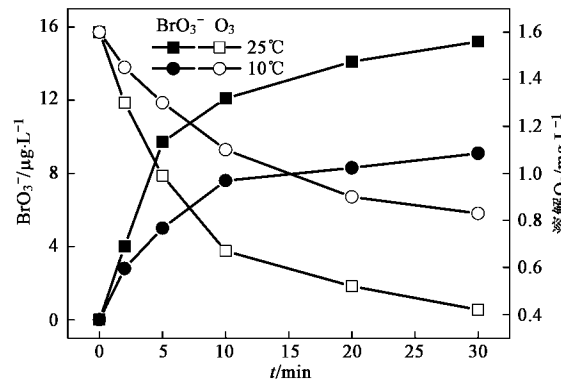


图4 水温对臭氧化过程中BrO₃⁻生成和O₃衰减的影响

Fig.4 Effect of temperature on bromate formation and ozone decay during ozonation process

表5 不同水温条件下原水中O₃衰减伪一级反应方程拟合结果对比

Table 5 Comparison of pseudo-first order equation parameters among raw waters under different temperatures

水温/℃	斜率	标准误差	R ²	t _{1/2} /min
25	-0.052	0.00578	0.93	13.4
10	-0.026	0.00211	0.96	26.6

高,反之亦然.

咸潮入侵主要发生在气温较低的冬季枯水期,导致水中 Br^- 浓度升高,夏天 Br^- 浓度比较小.因此气候因素对控制 BrO_3^- 来说是有利的.实验显示,10℃时 100 $\mu\text{g}/\text{L}$ Br^- 在初始 1.6 mg/L DO_3 条件下,生成了 9.1 $\mu\text{g}/\text{L}$ 的 BrO_3^- ,勉强达标.但具体原水水质、 Br^- 浓度、 O_3 投加量和方式等影响因素对 BrO_3^- 的关系可能还有待中试实验进一步确定.

3 结论

(1)实验条件范围内,长江原水中投加 NH_3 对 BrO_3^- 形成的抑制作用有限.

(2) BrO_3^- 的形成对 pH 变化很敏感,pH 调节到 6.3,30 min 生成量降低至 8 $\mu\text{g}/\text{L}$.

(3)降低温度可以减少 BrO_3^- 形成量,10℃时 100 $\mu\text{g}/\text{L}$ Br^- 在初始 1.6 mg/L DO_3 条件下,生成了 9.1 $\mu\text{g}/\text{L}$ BrO_3^- .提高 O_3 投加量会增加 BrO_3^- 生成量,为保证不超标,总溶解 O_3 量需在 1.2 mg/L 以下.

参考文献:

[1] 王晓昌.臭氧处理的副产物[J].给水排水,1998,24(12):75-77.

- [2] 王祖琴,李田.含溴水臭氧化过程中溴酸盐的形成与控制[J].净水技术,2001,21(2): 7-11.
- [3] 王伟,蒋颂辉,朱惠刚,等.溴酸盐的遗传毒性[J].环境与健康杂志,2003,20(3): 137-138.
- [4] GB 5749-2006,生活饮用水卫生标准[S].
- [5] Bonacquisti T P. A drinking Water Utility's Perspective on Bromide, Bromate and Ozonation[J]. Toxicology, 2006, 221(2-3): 145-148.
- [6] Siddiqui M G, Amy G L, Rice R G. Bromate ion formation: a critical review[J]. J AWWA, 1995, 87(10): 58-70.
- [7] 卫海.长江口咸潮入侵对上海市(中心城区)供水调度的影响[J].城市公用事业,2005,16(6):18-20.
- [8] 翟学东,刘娟娟,诸晓平.海水入侵对澳门供水中三卤甲烷形成的影响[J].哈尔滨商业大学学报,2006,22(1):12-15.
- [9] 杜红,董文艺,李继,等.溴酸盐生成水平判断臭氧化工艺适用性[J].中国给水排水,2005,21(8):47-50.
- [10] Bader H, Hoigne J. Determination of ozone in water by the indigo method[J]. Water Res., 1981, 15(2):449-456.
- [11] 沈群,王群.靛蓝二磺酸钠法臭氧浓度标准曲线的比较[J].食品科技,2002,27(2):56-57.
- [12] Haag W R, Hoigné J, Bader H. Improved Ammonia Oxidation by Ozone in the Presence of Bromide Ion During Water Treatment[J]. Water Res., 1984, 18(9): 125-128.
- [13] Xie L, Shang C. Role of humic acid and quinone model compounds in bromate reduction by zerovalent iron[J]. Environ Sci Technol, 2005, 39(4): 1092-1100.
- [14] 李继,董文艺,贺彬,等.臭氧投加方式对溴酸盐生成量的影响[J].中国给水排水,2005,21(4):1-4.